

Blade R downlight

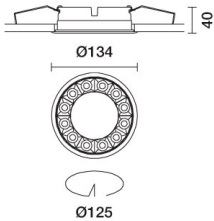
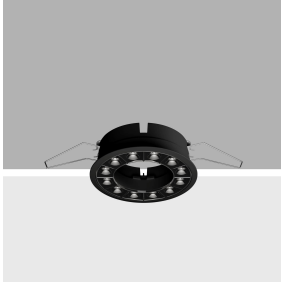
Design iGuzzini

iGuzzini

Letzte Aktualisierung der Informationen: Oktober 2024

Produktkonfiguration: QS29

QS29: Frame Ø 125 - Medium beam - LED



Produktcode

QS29: Frame Ø 125 - Medium beam - LED

Beschreibung

Ringförmige Leuchte mit 12 optischen Elementen für LED-Lichtquellen - feste Optiken. Das optische System garantiert einen sehr hohen Lichtkomfort und Blendfreiheit. Korpus mit strahlender Oberfläche aus Aluminiumdruckguss. Version mit Anschlag-Konturenrahmen. Aluminiumbedampfte Hochleistungsreflektoren aus metallisiertem Thermoplast, die zurückgesetzt gegenüber dem Blendschirm eingebaut und positioniert sind. Komplett mit Versorgungseinheit, die an die Leuchte angeschlossen ist.

Installation

Zum Einbau in abgehängte Decken von 1 bis 25 mm mittels Federn aus Stahldraht - Einbauöffnung Ø 125.

Farben

Weiß (01) | Schwarz/Schwarz (43) | Weiß/Schwarz (47) | Weiß/Gold (41)* | White / chrome burnished (E7)*

Gewicht (Kg)

0.54

* Farben auf Anfrage

Montage

Deckeneinbauleuchte

Verkabelung

An der Versorgungseinheit mit eingebauter Klemmleiste. Erhältlich in der Ausführung DALI.

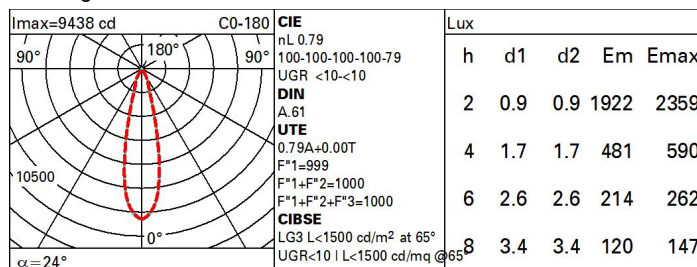
Gemäß der Normen EN60598-1 u. Sondernormen



Technische Daten

| | | | |
|---|------|---|--|
| Im System: | 2094 | Lebensdauer LED 1: | > 50,000h - L80 - B10 (Ta 25°C) |
| W System: | 26.8 | Eingangsspannung [V]: | 230 |
| Im Lichtquelle: | 2650 | Lampencode: | LED |
| W Lichtquelle: | 24 | Anzahl Lampen in Leuchtengehäuse: | 1 |
| Lichtausbeute (lm/W, Systemwert): | 78.1 | ZVEI-Code: | LED |
| Im im Notlichtbetrieb: | - | Anzahl Leuchtengehäuse: | 1 |
| abgegebener Lichtstrom bei/ über einem Winkel von 90° [lm]: | 0 | Leistungsfaktor: | Sehen Montageanleitung |
| Leuchtenbetriebswirkungsgrad 79 (L.O.R.) [%]: | | Einschaltstrom: | 21 A / 139 µs |
| Abstrahlwinkel [°]: | 24° | maximale Anzahl Leuchten pro Sicherungsautomat: | B10A: 15 Leuchten B16A: 24 Leuchten C10A: 24 Leuchten C16A: 40 Leuchten |
| CRI (minimum): | 90 | Minimaler Dimmwert %: | 1 |
| Farbtemperatur [K]: | 4000 | Überspannungsschutz: | 2kV Gleichtaktspannung und 1kV Gegentaktspannung |
| MacAdam Step: | 2 | Control: | DALI-2 |

Polardiagramm



Wirkungsgrad

| R | 77 | 75 | 73 | 71 | 55 | 53 | 33 | 00 | DRR |
|------|----|----|----|----|----|----|----|----|-----|
| K0.8 | 71 | 68 | 65 | 63 | 67 | 65 | 64 | 62 | 78 |
| 1.0 | 74 | 71 | 69 | 67 | 70 | 68 | 68 | 66 | 83 |
| 1.5 | 78 | 76 | 74 | 72 | 75 | 73 | 72 | 70 | 89 |
| 2.0 | 81 | 79 | 77 | 76 | 78 | 76 | 76 | 73 | 93 |
| 2.5 | 82 | 81 | 80 | 79 | 80 | 79 | 78 | 76 | 96 |
| 3.0 | 83 | 82 | 81 | 81 | 81 | 80 | 79 | 77 | 98 |
| 4.0 | 84 | 83 | 83 | 82 | 82 | 82 | 80 | 79 | 99 |
| 5.0 | 84 | 84 | 84 | 83 | 83 | 82 | 81 | 79 | 100 |

UGR-Diagramm

| Corrected UGR values (at 2050 lm bare lamp luminous flux) | | | | | | | | | | | |
|---|------|------------------|------|------|------|------|----------------|------|------|------|------|
| Reflect.: | | 0.70 | 0.70 | 0.50 | 0.50 | 0.30 | 0.70 | 0.70 | 0.50 | 0.50 | 0.30 |
| ceiling/cav | | 0.70 | 0.70 | 0.50 | 0.50 | 0.30 | 0.70 | 0.70 | 0.50 | 0.50 | 0.30 |
| walls | | 0.50 | 0.30 | 0.50 | 0.30 | 0.30 | 0.50 | 0.30 | 0.50 | 0.30 | 0.30 |
| work pl. | | 0.20 | 0.20 | 0.20 | 0.20 | 0.20 | 0.20 | 0.20 | 0.20 | 0.20 | 0.20 |
| Room dim | | viewed crosswise | | | | | viewed endwise | | | | |
| x | y | | | | | | | | | | |
| 2H | 2H | 4.0 | 6.1 | 4.3 | 6.4 | 6.7 | 3.8 | 5.9 | 4.1 | 6.2 | 6.5 |
| | 3H | 3.8 | 5.4 | 4.2 | 5.7 | 6.1 | 3.6 | 5.2 | 4.0 | 5.5 | 5.9 |
| | 4H | 3.8 | 5.1 | 4.1 | 5.4 | 5.8 | 3.6 | 4.9 | 3.9 | 5.2 | 5.6 |
| | 6H | 3.7 | 4.8 | 4.1 | 5.1 | 5.4 | 3.5 | 4.6 | 3.9 | 4.9 | 5.3 |
| | 8H | 3.7 | 4.7 | 4.1 | 5.1 | 5.4 | 3.5 | 4.5 | 3.9 | 4.9 | 5.2 |
| 12H | 3.6 | 4.6 | 4.0 | 5.0 | 5.4 | 3.4 | 4.5 | 3.8 | 4.8 | 5.2 | |
| 4H | 2H | 3.8 | 5.1 | 4.1 | 5.4 | 5.8 | 3.6 | 4.9 | 3.9 | 5.2 | 5.6 |
| | 3H | 3.6 | 4.6 | 4.0 | 5.0 | 5.4 | 3.4 | 4.5 | 3.8 | 4.8 | 5.2 |
| | 4H | 3.5 | 4.5 | 3.9 | 4.9 | 5.3 | 3.3 | 4.3 | 3.7 | 4.7 | 5.1 |
| | 6H | 3.1 | 4.8 | 3.6 | 5.2 | 5.7 | 3.0 | 4.6 | 3.4 | 5.0 | 5.5 |
| | 8H | 3.0 | 4.9 | 3.5 | 5.3 | 5.8 | 2.8 | 4.7 | 3.3 | 5.1 | 5.6 |
| 12H | 2.9 | 4.8 | 3.4 | 5.3 | 5.8 | 2.7 | 4.6 | 3.2 | 5.1 | 5.6 | |
| 8H | 4H | 3.0 | 4.9 | 3.5 | 5.3 | 5.8 | 2.8 | 4.7 | 3.3 | 5.1 | 5.6 |
| | 6H | 2.9 | 4.7 | 3.4 | 5.1 | 5.7 | 2.7 | 4.5 | 3.2 | 5.0 | 5.5 |
| | 8H | 2.9 | 4.4 | 3.4 | 4.9 | 5.5 | 2.7 | 4.2 | 3.2 | 4.7 | 5.3 |
| | 12H | 3.0 | 4.0 | 3.5 | 4.5 | 5.0 | 2.8 | 3.8 | 3.3 | 4.3 | 4.9 |
| 12H | 4H | 2.9 | 4.8 | 3.4 | 5.3 | 5.8 | 2.7 | 4.6 | 3.2 | 5.1 | 5.6 |
| | 6H | 2.9 | 4.4 | 3.4 | 4.9 | 5.5 | 2.7 | 4.2 | 3.2 | 4.7 | 5.3 |
| | 8H | 3.0 | 4.0 | 3.5 | 4.5 | 5.0 | 2.8 | 3.8 | 3.3 | 4.3 | 4.9 |
| Variations with the observer position at spacing: | | | | | | | | | | | |
| S = | 1.0H | 6.6 / -40.0 | | | | | 6.7 / -40.2 | | | | |
| | 1.5H | 8.0 / -54.2 | | | | | 7.8 / -45.1 | | | | |
| | 2.0H | 8.8 / -53.4 | | | | | 8.6 / -47.6 | | | | |